

研究报告

还原性脱卤酶的生物信息学分析

廖恒毅^{#1,3}, 王旭昊^{#1,3}, 崔逸儒¹, 李晓翠^{1,3}, 王红岩^{1,3}, 侯贺磊⁴, 王晶晶¹,
李秀颖¹, 杨毅^{*1,2}

1 中国科学院沈阳应用生态研究所 污染生态与环境工程重点实验室, 辽宁 沈阳 110016

2 中国科学院沈阳应用生态研究所 森林生态与保育重点实验室, 辽宁 沈阳 110016

3 中国科学院大学, 北京 100049

4 沈阳药科大学, 辽宁 沈阳 110016

廖恒毅, 王旭昊, 崔逸儒, 李晓翠, 王红岩, 侯贺磊, 王晶晶, 李秀颖, 杨毅. 还原性脱卤酶的生物信息学分析[J]. 微生物学通报, 2024, 51(12): 5105-5120.

LIAO Hengyi, WANG Xuhao, CUI Yiru, LI Xiaocui, WANG Hongyan, HOU Helei, WANG Jingjing, LI Xiuying, YANG Yi. Bioinformatics analysis of reductive dehalogenases[J]. Microbiology China, 2024, 51(12): 5105-5120.

摘要: 【背景】有机卤呼吸细菌介导的还原性脱卤过程对于卤素循环与有机卤污染场地的修复至关重要。还原性脱卤酶(reductive dehalogenases, RDases)作为有机卤呼吸的末端电子受体还原酶, 在脱卤过程中起着关键作用。【目的】系统地了解还原性脱卤酶的序列与结构特征, 为阐明还原性脱卤酶及有机卤呼吸细菌作用机制及生物学功能奠定基础。【方法】应用多种生物信息学分析工具对44个还原性脱卤酶蛋白的基本理化性质、跨膜结构、信号肽、磷酸化位点、系统发育关系、多序列比对的同源性矩阵、保守基序、保守结构域、二级结构、三级结构及无序区域进行预测分析。【结果】不同还原性脱卤酶蛋白的理化性质存在差异, 但呈现出一定的保守性。不同还原性脱卤酶蛋白的磷酸化位点、保守结构域分布、保守基序分布, 以及二级结构的保守性较高。底物类别相似或相同的还原性脱卤酶在蛋白序列和三级结构上更为相似。大多数还原性脱卤酶蛋白的亲缘关系较近。还原性脱卤酶蛋白主要为分泌型蛋白、非膜定位蛋白和固有无序蛋白。【结论】不同还原性脱卤酶蛋白具有一定的保守性, 因此能够发挥相似的生物学功能。研究结果对进一步研究还原性脱卤酶具有一定的参考价值, 尤其是为基于还原性脱卤酶的有机卤呼吸细菌应用于实际场地修复提供科学依据与理论参考。

关键词: 还原性脱卤酶; 生物信息学; 有机卤呼吸细菌

资助项目: 国家重点研发计划(2023YFE0122000); 国家自然科学基金(42177220, 42377133)

[#]对本文贡献相同

This work was supported by the National Key Research and Development Program of China (2023YFE0122000) and the National Natural Science Foundation of China (42177220, 42377133).

^{*}These authors contributed equally to this work.

*Corresponding author. E-mail: yangyi@iae.ac.cn

Received: 2024-06-30; Accepted: 2024-12-03; Published online: 2024-12-10

Bioinformatics analysis of reductive dehalogenases

LIAO Hengyi^{#1,3}, WANG Xuhao^{#1,3}, CUI Yiru¹, LI Xiaocui^{1,3}, WANG Hongyan^{1,3},
HOU Helei⁴, WANG Jingjing¹, LI Xiuying¹, YANG Yi^{*1,2}

1 Key Laboratory of Pollution Ecology and Environmental Engineering, Institute of Applied Ecology, Chinese Academy of Sciences, Shenyang 110016, Liaoning, China

2 Key Laboratory of Forest Ecology and Conservation, Institute of Applied Ecology, Chinese Academy of Sciences, Shenyang 110016, Liaoning, China

3 University of Chinese Academy of Sciences, Beijing 100049, China

4 Shenyang Pharmaceutical University, Shenyang 110016, Liaoning, China

Abstract: [Background] The reductive dehalogenation process mediated by organohalide-respiring bacteria is crucial for halogen cycling and the remediation of organohalide-contaminated sites. Reductive dehalogenases (RDases), as terminal electron acceptor reductases in organohalide respiration, play a critical role in dehalogenation. [Objective] To systematically understand the sequence and structural characteristics of RDase proteins and lay a foundation for elucidating the mechanisms and biological functions of RDases and organohalide-respiring bacteria. [Methods] Multiple bioinformatics tools were used to predict the basic physicochemical properties, transmembrane structures, signal peptides, phosphorylation sites, phylogenetic relationship, homology matrix of multiple sequence alignments, conserved motifs, conserved domains, secondary structures, tertiary structures, and disordered regions of 44 RDase proteins. [Results] The physicochemical properties varied among different RDase proteins, but they were conserved to some extent. The phosphorylation sites, distribution of conserved domains, distribution of conserved motifs, and secondary structures were highly conserved among different RDases proteins. The RDases with similar or identical substrate categories tended to have greater similarity in their protein sequences and tertiary structures. The phylogenetic relationships were relatively close among most RDase proteins. RDase proteins were primarily secretory proteins, non-membrane proteins, and intrinsically disordered proteins. [Conclusion] Different RDase proteins are conserved to some extent and thus have similar biological functions. The findings provide a valuable reference for further studies on RDases, particularly offering scientific evidence and theoretical support for the application of organohalide-respiring bacteria based on RDases in site remediation.

Keywords: reductive dehalogenase; bioinformatics; organohalide-respiring bacteria

有机卤化物(halogenated organic compound, HOC)是指含有氟、氯、溴或碘等卤素元素的有机化合物^[1]。原始自然环境中，有机卤化物可通过生物体(例如细菌、真菌和植物)、生物量燃烧、火山活动及其他地热活动形成，是卤素生物地球化学循环不可或缺的一部分^[2-3]。目

前，由于其优异的理化特性，有机卤化物被广泛应用于工农业等众多领域^[4-5]。然而，由于其不合理的生产及不当的释放，加之有机卤化物通常具有化学稳定性强、难降解、全球转移及生物富集等特点，导致环境中这些化合物的累积量越来越多^[6-9]。这些有机卤化物随后可通过

食物网的生物积累和生物放大作用，对人类健康和生态系统功能产生不同程度的潜在风险和危害^[10-12]。

有机卤呼吸细菌(organohalide-respiring bacteria, OHRB)与还原性脱卤酶(reductive dehalogenases, RDases)是有机卤化物生物修复的关键工具^[13]。OHRB能以有机卤化物作为电子受体，以氢气或甲酸、乙酸等小分子有机酸作为电子供体，基于电子传递过程裂解有机卤化物中的碳-卤素键^[14-17]。有机卤取代基以无机卤的形式被释放，有机卤化物进而可被转化为无毒或低毒的终产物，或是生物降解性更高的中间产物^[18]。而RDases作为有机卤呼吸的末端电子受体还原酶，是该过程的核心^[15,19-20]。

RDases由催化亚基(RdhA)和膜锚定蛋白(RdhB)两部分组成^[21]。其中，RdhA是催化亚基，具有钴胺素辅因子和2个Fe-S簇^[13]。该亚基可通过膜锚定亚基RdhB锚定到细胞质膜^[21]。OHRB的基因组中存在许多编码RDases的基因，其功能与结构的多样性促使不同OHRB参与到不同的脱卤过程中。然而，大多数RDases基因尚未进行功能鉴定。迄今为止，RDases生化研究仍因其纯化与表征方面的困难而受阻，其活性位点、电子传递的组成部分及序列结构特征等相关信息也知之甚少，这从根源上制约了OHRB在有机卤污染场地原位修复中的实际应用及相关修复技术的发展。

本研究通过生物信息学分析方法对44个RDases蛋白的基本理化性质、跨膜结构、信号肽、磷酸化位点、系统发育、多序列比对的同源性矩阵、保守基序、保守结构域、二级结构、三级结构与无序区域进行预测分析，以期为发现更多新型RDases并研究其功能奠定基础，也为基于RDases的OHRB应用于实际场地修复提供科学依据与理论参考。

1 材料与方法

1.1 还原性脱卤酶序列的收集

本研究以44个RDases蛋白氨基酸编码序列为分析对象(蛋白名称与登录号见表1)。其中，39个RDases蛋白氨基酸编码序列来源于还原性脱卤酶数据库(<http://RDaseDB.biozone.utoronto.ca>)^[22]。5个RDases蛋白氨基酸编码序列[PceA-Lab、DcaA-Lab、TcaA-Lab、DcpA(1)-Lab与DcpA(2)-Lab]来自本实验室。

1.2 生物信息学分析

44个RDases蛋白氨基酸编码序列采用各种生物信息学分析工具对其序列与结构特征进行分析预测，具体生物信息学分析工具见表2。

2 结果与分析

2.1 蛋白质的基本理化性质

如图1A所示，不同RDases蛋白的分子量存在一定差异。其中，NpRdhA蛋白的分子量最高，为76 503.1 Da；而CrdA和DebcprA蛋白的分子量较低，分别为35 456.4 Da和36 088.7 Da。其余RDases蛋白分子量均在49–65 kDa之间。由图1B可知，不同RDases蛋白的理论等电点也有所不同。其中，DebcprA、3-CBA RDase、DcaA与CprA-5蛋白的理论等电点较高，分别为9.15、8.42、8.28与8.02。其余RDases蛋白的理论等电点均在5.5–8.0之间。各个RDases蛋白的脂肪族指数也有所差异(图1C)。其中，DebcprA蛋白的脂肪族指数较高，为93.24。其余RDases蛋白的脂肪族指数均在56–78之间。蛋白的亲水性是维持其稳定性和功能的基础。由图1D可知，不同RDases蛋白的总平均亲水指数在–0.509––0.044之间，均为亲水性蛋白。由图1E可知，除TcaA-Lab、CtrA、TmrA与CfrA这4个酶蛋白外，其余RDases蛋白的不稳定系数均小于40，属于稳定蛋白。

表 1 还原性脱卤酶的基本信息

Table 1 Basic information of reductive dehalogenases

| 编号 No. | 名称 Name | 登录号 Accession number | 编号 No. | 名称 Name | 登录号 Accession number |
|-----------|-----------------|-------------------------|-----------|-------------|-------------------------|
| 1 | 3-CBA RDase | AFM24124 | 23 | PceA-4 | AAO60101 |
| 2 | 3-C-4-H-P RDase | WP_015942994 | 24 | PceA-5 | WP_011460641 |
| 3 | BvcA | AAT64888 | 25 | PceA-6 | AAW40342 |
| 4 | CbrA | CAI82345 | 26 | PceA-7 | AHF10727 |
| 5 | CerA | PMP99143 | 27 | PceA-8 | ABV38373 |
| 6 | CfrA | AFV05253 | 28 | PceA-9 | AHJ12791 |
| 7 | CprA-1 | BAE45337 | 29 | PceA-DCE | AGW23613 |
| 8 | CprA-2 | AAG49544 | 30 | PceA-TCE | AGW23615 |
| 9 | CprA-3 | AAG46187 | 31 | PdrA | BAE45338 |
| 10 | CprA-4 | AAQ54585 | 32 | TcbA | WP_068882928 |
| 11 | CprA-5 | AAL84925 | 33 | TceA-1 | AIZ97109 |
| 12 | CrdA | AAK95329 | 34 | TceA-2 | AAW39060 |
| 13 | CtrA | AGO27983 | 35 | TdrA | AKG53095 |
| 14 | DcaA | CAJ75430 | 36 | TmrA | WP_034377773 |
| 15 | DcpA | WP_013218938 | 37 | VcrA-1 | AQY73737 |
| 16 | DcrA | AFV02209 | 38 | VcrA-2 | AOV99943 |
| 17 | DebcprA | AGC09147 | 39 | VcrA-3 | WP_012882535 |
| 18 | MbrA | ADF96893 | 40 | PceA-Lab | WP_278545147 |
| 19 | NpRdhA | EKF18105 | 41 | DcaA-Lab | MDV2988852 |
| 20 | PceA-1 | AAC60788 | 42 | TcaA-Lab | MDJ0306437 |
| 21 | PceA-2 | AAG49543 | 43 | DcpA(1)-Lab | WZD84542 |
| 22 | PceA-3 | CAD28792 | 44 | DcpA(2)-Lab | WZD84543 |

3-C-4-H-P RDase: 3-chloro-4-hydroxy-phenylacetate reductive dehalogenase.

由图 1F 可知, 不同 RDases 蛋白的氨基酸数量也存在一定差异。在 44 个 RDases 蛋白中, NpRdhA 蛋白的氨基酸数量最多, 共含 698 个氨基酸。而 CrdA 与 DebcprA 蛋白的氨基酸数量较少, 分别具有 327 个和 336 个氨基酸。其余 RDases 蛋白的氨基酸数量均在 445–576 之间。如图 2 所示, 44 个 RDases 蛋白的氨基酸组成具有一定的相似性。在不同 RDases 蛋白中, 丙氨酸(Ala)、甘氨酸(Gly)与赖氨酸(Lys)均为含量占比较高的氨基酸。

2.2 跨膜结构、信号肽与磷酸化位点预测

通过对 44 个 RDases 蛋白的跨膜结构进行预

测分析发现, 除 TcaA-Lab 蛋白外, 其余 43 个 RDases 蛋白均无跨膜结构。这意味着绝大多数 RDases 蛋白并非膜定位蛋白, 在有机卤呼吸细菌的生命过程中并不能发挥跨膜蛋白功能作用(如信号传递、物质转运和细胞通信等)。

44 个 RDases 蛋白的信号肽预测分析结果如表 3 所示。NpRdhA、DcaA-Lab 与 TcaA-Lab 的蛋白序列并无明显信号肽, 为非经典型分泌蛋白。其余 RDases 蛋白均存在信号肽, 为分泌蛋白。其中, 仅 CrdA 存在 Sec 转运蛋白转运并被信号肽酶 I 切割的“标准”分泌信号肽(Sec/SPI), 其切割位点位于 24–25 位氨基酸之间; 而其余

表 2 生物信息学分析工具

Table 2 Bioinformatics analysis tools

| 工具名称 Tool name | 网址 Website | 功能 Function |
|--------------------|---|---|
| ProtParam | https://web.expasy.org/protparam/ | 蛋白的分子量、理论等电点(pI)、氨基酸组成、不稳定指数、总平均亲水指数和脂肪族指数预测 Prediction of protein's molecular weight, theoretical isoelectric point (pI), amino acid composition, instability index, grand average of hydropathicity, and aliphatic index |
| ProtScale | https://web.expasy.org/protscale/ | 蛋白的亲水性与疏水性预测 Prediction of protein hydrophilicity and hydrophobicity |
| DeepTMHMM 1.0 | https://services.healthtech.dtu.dk/services/DeepTMHMM-1.0/ | 蛋白跨膜结构预测 Prediction of protein transmembrane structure |
| SignalP 6.0 | https://services.healthtech.dtu.dk/services/SignalP-6.0/ | 蛋白信号肽预测 Prediction of protein signal peptide |
| NetPhosBac 1.0 | https://services.healthtech.dtu.dk/services/NetPhosBac-1.0/ | 蛋白的丝氨酸、苏氨酸、酪氨酸 3 种磷酸化位点预测 Prediction of phosphorylation sites on protein serine, threonine, and tyrosine |
| MEME | https://meme-suite.org/meme/ | 蛋白保守基序预测 Prediction of protein conserved motif |
| Pfam | http://pfam-legacy.xfam.org/ | 蛋白保守结构域预测 Prediction of protein conserved domain |
| SOPMA | https://npsa.lyon.inserm.fr/cgi-bin/npsa_automat.pl?page=NPSA/npsa_sopma.html | 蛋白二级结构预测 Prediction of protein secondary structure |
| AlphaFold 3 | https://alphafoldserver.com/ | 蛋白三级结构预测 Prediction of protein tertiary structure |
| PyMOL | — | 蛋白三级结构的可视化 Visualization of protein tertiary structure |
| DISOPRED3 | http://bioinf.cs.ucl.ac.uk/psipred/ | 蛋白无序区域预测 Prediction of protein disordered region |
| DNAMAN; MEGA 11 | — | 蛋白多序列比对与进化树构建 Protein multiple sequence alignments and phylogenetic tree construction |
| TBtools | — | 蛋白保守基序与保守结构域的可视化 Visualization of protein conserved motif and domain |
| RStudio | — | 部分分析结果的可视化 Visualization of partial analysis results |
| Adobe Illustrator | — | 图片的组装与美化 Assembly and enhancement of figures |

—: 非在线工具

—: Non-online tools.

RDases 蛋白均只存在由 Tat 转运蛋白转运并被信号肽酶 I 切割的 Tat 信号肽(Tat/SPI)，其切割位点大多数在 40–50 位氨基酸之间。

磷酸化修饰对于细胞生长、分化、凋亡和

细胞信号转导等多种细胞过程的调节均具有重要作用，是目前研究最为广泛的蛋白质翻译后修饰(post-translational modification, PTM)之一^[23-24]。

44 个 RDases 蛋白的磷酸化位点预测结果如表 4

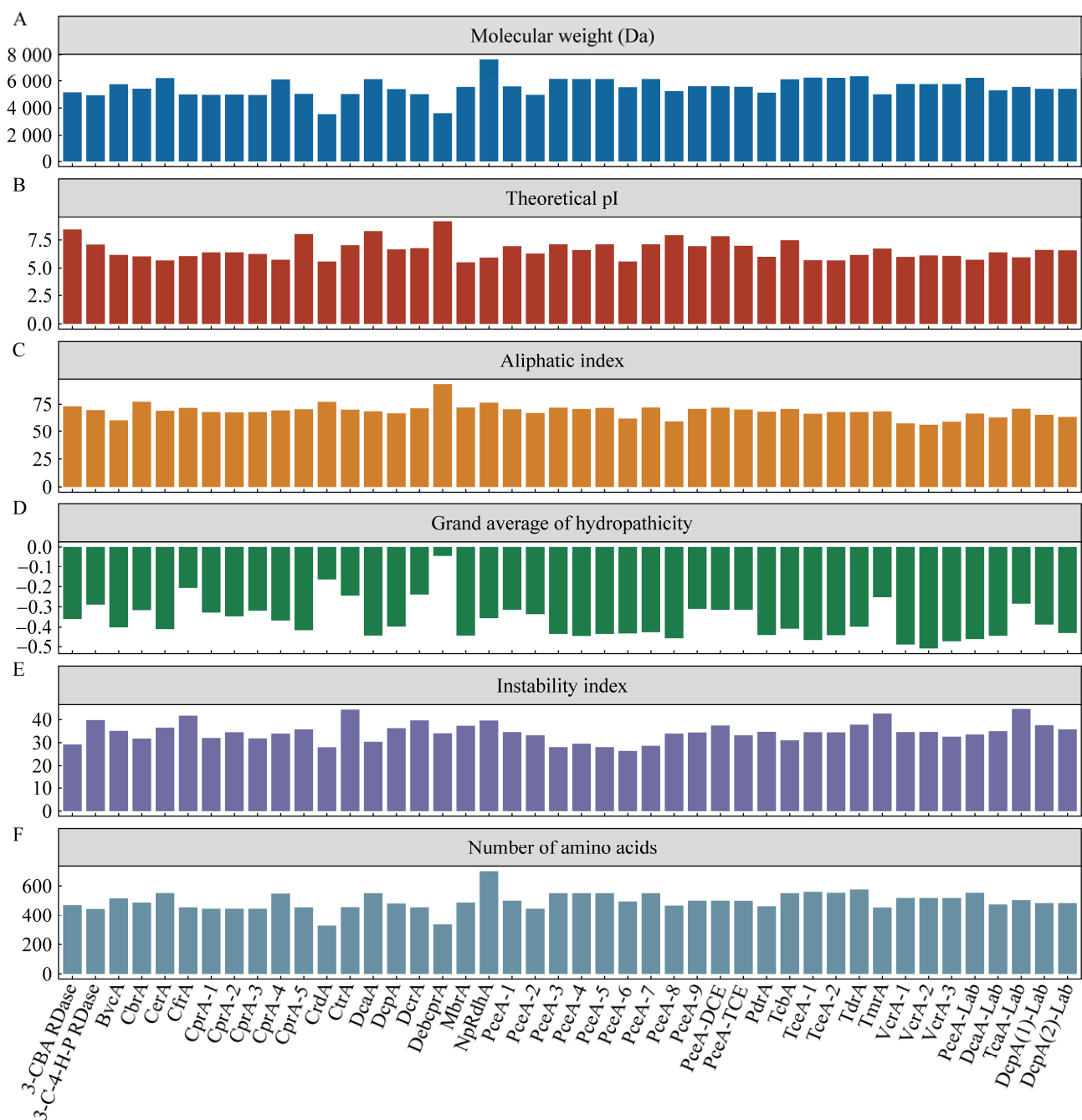


图 1 44 个还原性脱卤酶的基本理化性质 A: 44 个还原性脱卤酶的分子量. B: 44 个还原性脱卤酶的理论等电点. C: 44 个还原性脱卤酶的脂肪族指数. D: 44 个还原性脱卤酶的总平均亲水指数. E: 44 个还原性脱卤酶的不稳定指数. F: 44 个还原性脱卤酶的氨基酸数量

Figure 1 The basic physicochemical properties of 44 reductive dehalogenases. A: The molecular weights of 44 reductive dehalogenases. B: Theoretical isoelectric points (pI) of 44 reductive dehalogenases. C: The aliphatic indices of 44 reductive dehalogenases. D: The grand average of hydropathicity for 44 reductive dehalogenases. E: The instability index of 44 reductive dehalogenases. F: The number of amino acids in 44 reductive dehalogenases.

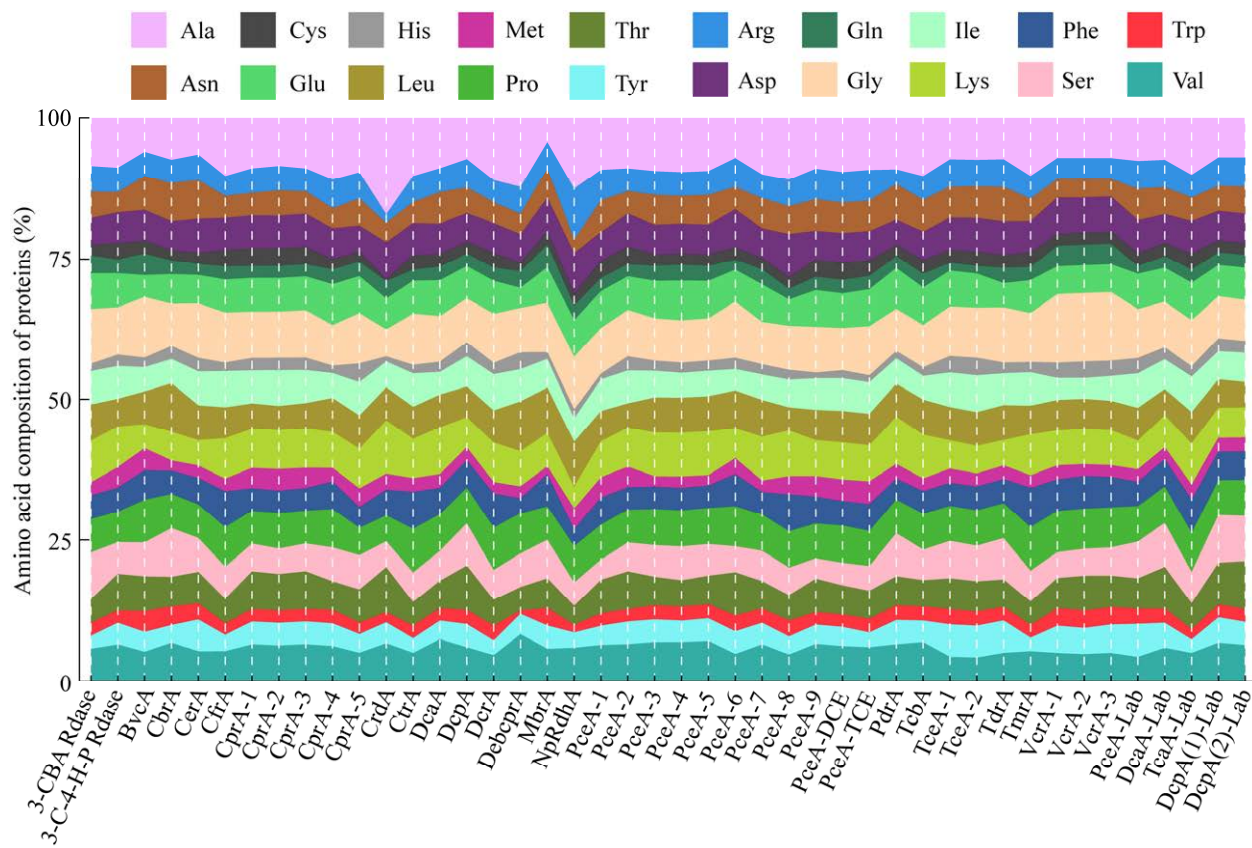


图 2 44 个还原性脱卤酶的氨基酸组成 Ala: 丙氨酸; Cys: 半胱氨酸; His: 组氨酸; Met: 甲硫氨酸; Thr: 苏氨酸; Arg: 精氨酸; Gln: 谷氨酰胺; Ile: 异亮氨酸; Phe: 苯丙氨酸; Trp: 色氨酸; Asn: 天冬酰胺; Glu: 谷氨酸; Leu: 亮氨酸; Pro: 脯氨酸; Tyr: 酪氨酸; Asp: 天冬氨酸; Gly: 甘氨酸; Lys: 赖氨酸; Ser: 丝氨酸; Val: 缬氨酸

Figure 2 Amino acid compositions of 44 reductive dehalogenases. Ala: Alanine; Cys: Cysteine; His: Histidine; Met: Methionine; Thr: Threonine; Arg: Arginine; Gln: Glutamine; Ile: Isoleucine; Phe: Phenylalanine; Trp: Tryptophan; Asn: Asparagine; Glu: Glutamic acid; Leu: Leucine; Pro: Proline; Tyr: Tyrosine; Asp: Aspartic acid; Gly: Glycine; Lys: Lysine; Ser: Serine; Val: Valine.

所示。结果表明，磷酸化位点在 RDases 蛋白序列中普遍存在，且主要以丝氨酸(serine)为主，而苏氨酸(threonine)较少。磷酸化位点的普遍存在表明 RDases 蛋白很可能是通过自身磷酸化来调节有机卤呼吸相关的生物学过程。

2.3 系统发育分析与多序列比对的同源性矩阵

为分析 44 个 RDases 蛋白的亲缘关系，本研究基于邻近(neighbor-joining, NJ)法构建了 44 个

RDases 蛋白的系统发育树，检验方法为步长检验方法(bootstrap method)，检验次数 1 000 次。由图 3A 可知，多数 RDases 蛋白间的进化关系较近。CrdA 单个蛋白独立成分支，这或许是由于其蛋白序列与其它序列差异较大所致。44 个 RDases 蛋白多序列比对的同源性矩阵结果如图 3B 所示。结果表明，具有相似或相同底物的 RDases 蛋白序列具有更高的相似性，而其他 RDases 蛋白序列之间的相似性则相对较低。此

表3 44个还原性脱卤酶的信号肽预测结果

Table 3 The predicted signal peptide results for 44 reductive dehalogenases

| 蛋白名称 Protein name | 信号肽类型 Signal peptide type | 切割位点 Cleavage site | 蛋白名称 Protein name | 信号肽类型 Signal peptide type | 切割位点 Cleavage site |
|----------------------|------------------------------|-----------------------|----------------------|------------------------------|-----------------------|
| 3-CBA RDase | Tat/SPI | 39–40 | PceA-4 | Tat/SPI | 39–40 |
| 3-C-4-H-P RDase | Tat/SPI | 42–43 | PceA-5 | Tat/SPI | 39–40 |
| BvcA | Tat/SPI | 43–44 | PceA-6 | Tat/SPI | 42–43 |
| CbrA | Tat/SPI | 35–36 | PceA-7 | Tat/SPI | 39–40 |
| CerA | Tat/SPI | 31–32 | PceA-8 | Tat/SPI | 47–48 |
| CfrA | Tat/SPI | 53–54 | PceA-9 | Tat/SPI | 37–38 |
| CprA-1 | Tat/SPI | 42–43 | PceA-DCE | Tat/SPI | 37–38 |
| CprA-2 | Tat/SPI | 42–43 | PceA-TCE | Tat/SPI | 37–38 |
| CprA-3 | Tat/SPI | 42–43 | PdrA | Tat/SPI | 49–50 |
| CprA-4 | Tat/SPI | 27–28 | TcbA | Tat/SPI | 39–40 |
| CprA-5 | Tat/SPI | 51–52 | TceA-1 | Tat/SPI | 40–41 |
| CrdA | Sec/SPI | 24–25 | TceA-2 | Tat/SPI | 34–35 |
| CtrA | Tat/SPI | 53–54 | TdrA | Tat/SPI | 55–56 |
| DcaA | Tat/SPI | 39–40 | TmrA | Tat/SPI | 53–54 |
| DcpA | Tat/SPI | 45–46 | VcrA-1 | Tat/SPI | 35–36 |
| DcrA | Tat/SPI | 53–54 | VcrA-2 | Tat/SPI | 29–30 |
| DebcprA | Tat/SPI | 39–40 | VcrA-3 | Tat/SPI | 35–36 |
| MbrA | Tat/SPI | 28–29 | PceA-Lab | Tat/SPI | 34–35 |
| NpRdhA | — | — | DcaA-Lab | — | — |
| PceA-1 | Tat/SPI | 37–38 | TcaA-Lab | — | — |
| PceA-2 | Tat/SPI | 42–43 | DcpA(1)-Lab | Tat/SPI | 40–41 |
| PceA-3 | Tat/SPI | 39–40 | DcpA(2)-Lab | Tat/SPI | 45–46 |

数字代表氨基酸位点；—：不含信号肽

Numbers represent amino acid sites; —: No signal peptide.

表4 44个还原性脱卤酶的磷酸化位点预测结果

Table 4 Prediction results of phosphorylation sites for 44 reductive dehalogenases

| 蛋白名称 Protein name | 丝氨酸 Serine | 苏氨酸 Threonine | 蛋白名称 Protein name | 丝氨酸 Serine | 苏氨酸 Threonine | 蛋白名称 Protein name | 丝氨酸 Serine | 苏氨酸 Threonine |
|----------------------|---------------|------------------|----------------------|---------------|------------------|----------------------|---------------|------------------|
| 3-CBA RDase | 11 | 0 | DcrA | 6 | 0 | PdrA | 10 | 1 |
| 3-C-4-H-P RDase | 8 | 1 | DebcprA | 5 | 1 | TcbA | 5 | 0 |
| BvcA | 9 | 0 | MbrA | 7 | 0 | TceA-1 | 12 | 2 |
| CbrA | 13 | 2 | NpRdhA | 7 | 1 | TceA-2 | 10 | 1 |
| CerA | 10 | 1 | PceA-1 | 5 | 2 | TdrA | 13 | 2 |
| CfrA | 6 | 0 | PceA-2 | 4 | 1 | TmrA | 7 | 0 |
| CprA-1 | 4 | 1 | PceA-3 | 5 | 0 | VcrA-1 | 6 | 2 |
| CprA-2 | 4 | 0 | PceA-4 | 7 | 0 | VcrA-2 | 6 | 2 |
| CprA-3 | 4 | 1 | PceA-5 | 5 | 0 | VcrA-3 | 6 | 2 |
| CprA-4 | 10 | 1 | PceA-6 | 7 | 2 | PceA-Lab | 13 | 1 |
| CprA-5 | 8 | 0 | PceA-7 | 5 | 0 | DcaA-Lab | 12 | 2 |
| CrdA | 1 | 1 | PceA-8 | 8 | 0 | TcaA-Lab | 8 | 0 |
| CtrA | 6 | 0 | PceA-9 | 5 | 2 | DcpA(1)-Lab | 12 | 2 |
| DcaA | 7 | 0 | PceA-DCE | 6 | 1 | DcpA(2)-Lab | 13 | 3 |
| DcpA | 11 | 2 | PceA-TCE | 7 | 1 | | | |

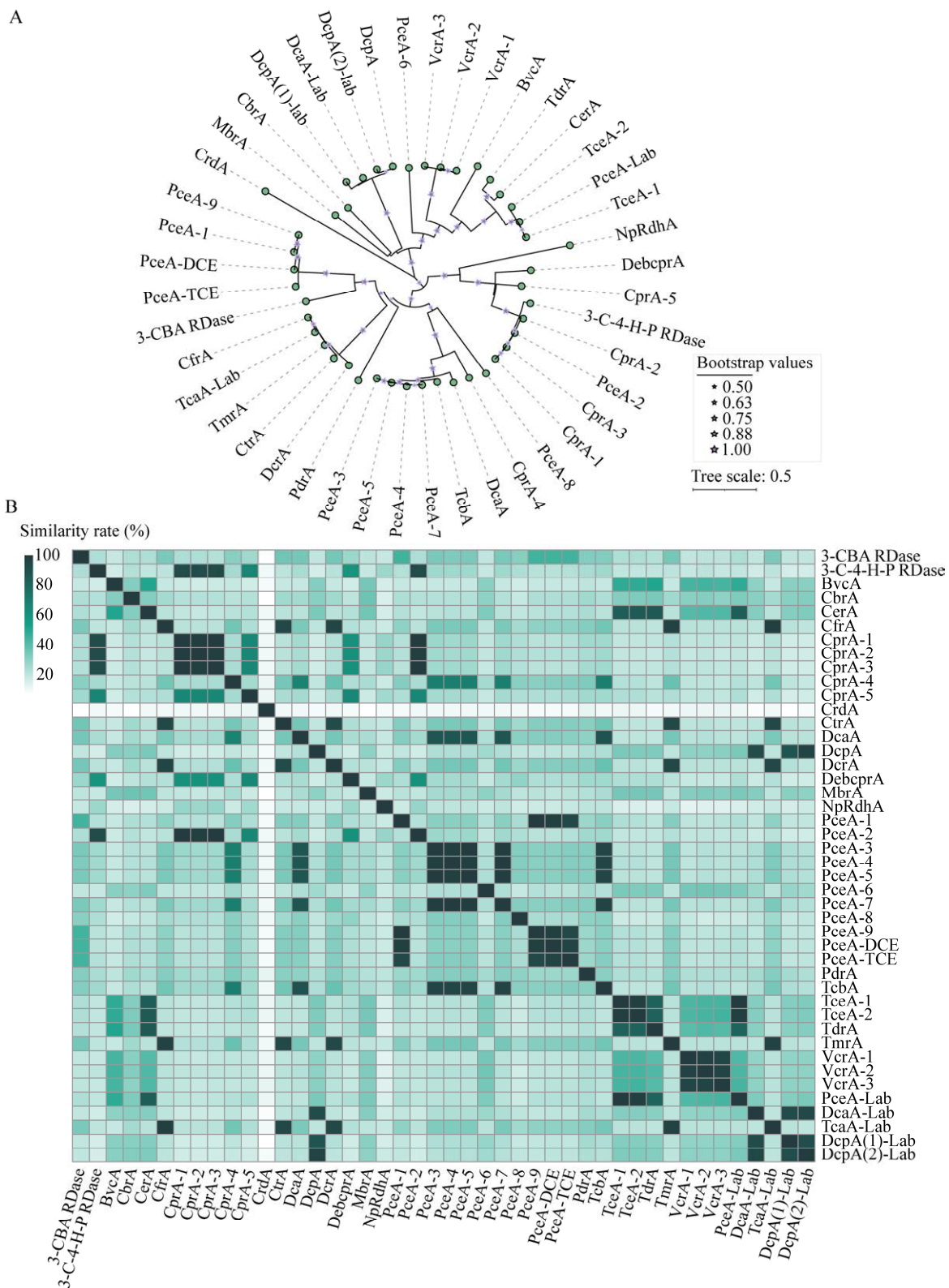


图 3 44 个还原性脱卤酶的系统发育分析(A)与同源性矩阵(B)

Figure 3 Phylogenetic analysis (A) and homology matrix (B) of 44 reductive dehalogenases.

外, 多序列比对结果还显示, 44 个 RDases 蛋白间的保守氨基酸所占的比例也不高, 并且分散在整个序列长度范围内。

2.4 保守基序与保守结构域分析

应用在线工具 MEME 对 44 个 RDases 蛋白的保守基序进行了预测分析, 共获得了 10 个保守基序, 分别命名为 Motif 1–Motif 10 (保守基序的序列信息见表 5)。由图 4A 可知, 在 44 个 RDases 蛋白的保守基序中, Motif 1–Motif 7 的分布位置与顺序高度相似且保守性较高。

应用在线工具 Pfam 对 44 个 RDases 蛋白的保守结构域进行预测分析, 结果如图 4B 所示。除 CrdA 蛋白外, 其余 RDases 蛋白均包含 dehalogenase super family 结构域。LysM 结构域特定存在于 CrdA 蛋白中, 可能与其特定的还原脱卤功能或独特的作用方式有关。

2.5 蛋白质的二级结构与三级结构预测

44 个 RDases 蛋白的二级结构预测结果如图 5 所示。结果表明, 不同 RDases 蛋白的二级结构具有明显的相似性。在各个 RDases 蛋白中, 无规卷曲(random coil)的比例均占据了绝对优势, 其次为 α 螺旋(α -helix)。而延伸链(extended)与 β -转角(β -turn)的占比较小。由此可见, RDases

蛋白二级结构的相似性大于其蛋白序列的相似性。然而, 尽管二级结构较为保守, 部分 RDases 蛋白的底物范围差异仍然显著。这表明, 某些氨基酸(尤其是在结构域和活性位点上的残基)的差异可能是决定功能特征的关键因素。

应用 AlphaFold 3 和 PyMOL 对 44 个 RDases 蛋白进行预测建模, 结果如图 6 所示。分析表明, RDases 蛋白三级结构与其对应的脱卤底物类别似乎有着密切联系。底物相似性较高的 RDases 蛋白在三级结构上表现出较高的保守性, 这可能反映了它们在底物识别和催化机制上的相似性。然而, 尽管部分 RDases 蛋白在整体的三级结构上表现出较高的保守性, 其拓扑结构与聚合角度等仍存在一定差异。这些微小但关键的结构差异可能是决定其底物范围、催化效率及催化产物类型差异的重要因素。

2.6 蛋白无序区域预测

长期以来形成了“序列-结构-功能”的研究范式, 即蛋白质氨基酸序列决定其三维结构, 进而决定其生物学功能^[25-26]。伴随着研究的深入, 不断有研究证实某些在生理条件下缺乏有序稳定的高级结构的蛋白质/蛋白区域也能够参与多种生物学过程, 行使特定的生物学功能,

表 5 44 个还原性脱卤酶的保守基序序列

Table 5 Conserved motif sequences of 44 reductive dehalogenases

| 保守基序名 Conserved motif name | 氨基酸序列 Amino acid sequence |
|-------------------------------|---|
| Motif 1 | TDLPLAPDKPIDFGVREFCKTCKKCADAC |
| Motif 2 | GSSCGNCVAVCPFNK |
| Motif 3 | EENSQMVVKKAARFFGADLVGI |
| Motif 4 | VPFAVQAGLGEASRTG |
| Motif 5 | HSTISRRBFLKVGLLAGAGAA |
| Motif 6 | VSTTPVFNSFFKKMDDAFGYG |
| Motif 7 | SYSQMGEVAYKLAQFJRGGLGYNAVPS |
| Motif 8 | KPKSVIVMMIEQDYETMKTSPSYLGSAAA |
| Motif 9 | EFPYKVDAKYQRFNSLKNFFEKA |
| Motif 10 | DPEPNKTPJKFHFDVS NSGTLRWYVDSNKCLEFWATN |

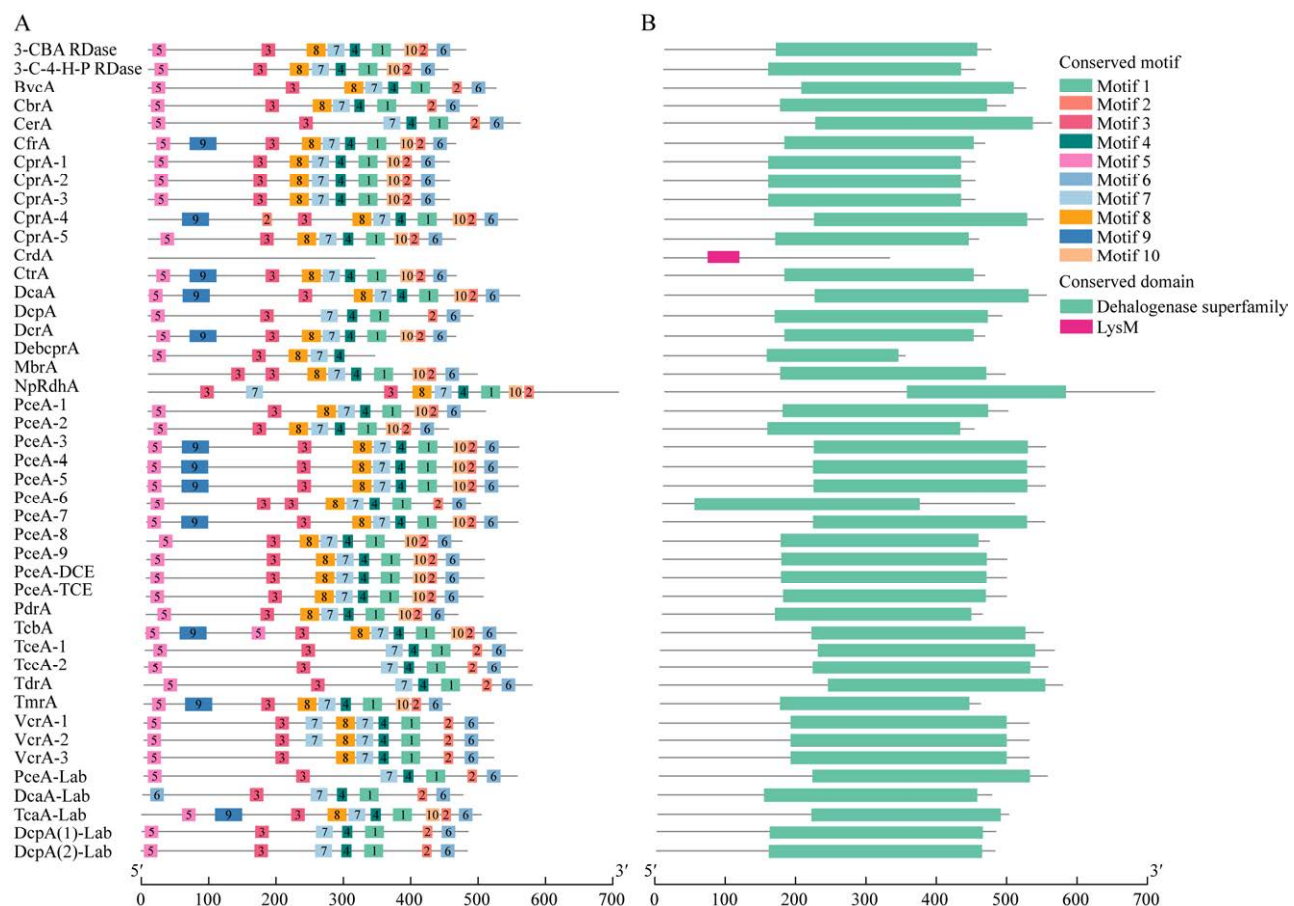


图 4 44 个还原性脱卤酶的保守基序(A)与保守结构域(B)分析

Figure 4 Conserved motifs (A) and conserved domains (B) analysis of 44 reductive dehalogenases.

这类具有生物活性的蛋白/蛋白区域被称为固有无序蛋白 (intrinsically disordered protein, IDP)/ 固有无序区域 (intrinsically disordered region, IDR)^[25,27]。使用 DISOPRED3 在线工具对 44 个 RDases 蛋白进行无序区域的预测，发现这些蛋白质均存在无序区域。除 DcpA、MbrA、NpRdhA、DcaA-Lab、TcaA-Lab、DcpA(1)-Lab 与 DcpA(2)-Lab 外，其余 37 个 RDases 蛋白均存在由连续 30 个以上的氨基酸组成的无序区域，属于部分无序的固有无序蛋白^[28]。此外，预测结果中 RDases 蛋白的无序区域又根据是否具有蛋白质的结合位点分为“disordered”与“disordered, protein binding”

两种类型。预测结果显示(图 7A)，44 个 RDases 蛋白的无序区域中均存在蛋白质结合位点，提示这些无序区域可能在 RDases 蛋白与底物结合的调控网络中发挥重要作用。尽管这些蛋白的氨基酸组成与二级结构在不同酶之间具有较高的保守性，然而不同底物的 RDases 蛋白的“disordered, protein binding”占比以及氨基酸组成等无序区域特征(图 7A–7C)表现出显著差异。这一现象进一步暗示了无序区域在决定脱卤酶底物特异性方面可能发挥着关键作用。另外，即使是对应相同底物的 RDases 蛋白，其无序区域特征依然存在一定的差异，这可能是导致某些具有相同底物的 RDases 蛋白在进化树中

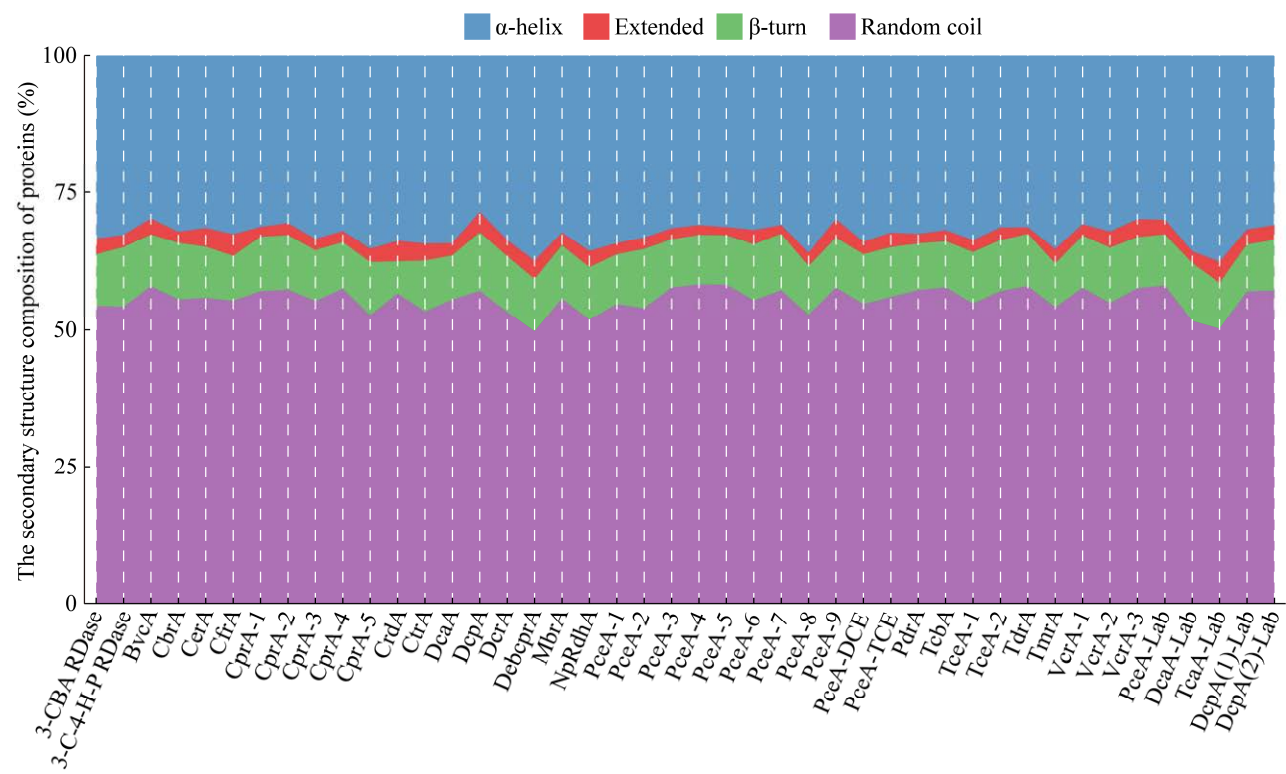


图 5 44 个还原性脱卤酶的二级结构预测结果

Figure 5 The predicted secondary structure results of 44 reductive dehalogenases.

出现在不同分支，并且在催化效率和催化产物类型上有所不同的原因之一。

3 讨论

目前，关于有机卤呼吸细菌还原脱卤内电子转移反应过程中底物攻击位点与反应机理尚未达成共识。在 PceA 催化四氯乙烯脱氯的研究中，Zhang 等^[29]提出了质子耦合电子转移 (proton-coupled electron transfer, PCET) 反应机理；其中，质子来源于高度保守的 Arg305，而非普遍认为的 Try246，电子则来源于 [4Fe-4S]¹⁺簇。然而，其他 RDases 是否以 Arg305 或其他残基作为质子来源，仍需进一步验证。此外，既往研究表明还原脱卤发生在 OHRB 细胞外膜电子传递链末端脱卤酶催化活性空间^[30-31]。然而，信号肽预测结果显示，NpRdhA、DcaA-Lab 与

TcaA-Lab 的蛋白序列中均未发现明显的信号肽，表明它们不属于分泌蛋白。其具体的还原脱卤反应机制仍需进一步挖掘。

IDR/IDP 在分子与细胞功能中发挥着重要作用，挑战了传统的序列-结构-功能范式，对其深入研究有助于阐明一些目前被忽视的生物学机理。无序区域的预测结果显示，44 个 RDases 蛋白均存在具有蛋白结合位点的无序区域，并且多数 RDases 蛋白属于部分无序的 IDP。不同底物，甚至相同底物的 RDases 蛋白在无序区域特征上的差异，揭示了无序区域在决定 RDase 功能和底物范围方面的潜在作用。然而，由于 IDR/IDP 缺乏稳定的三维结构，像 AlphaFold 等常见的结构预测方法难以捕捉其可能的三维构象特性，这使得实验表征 IDR/IDP 的结构特性极具挑战性，也可能是依赖晶体结构的 RDases 蛋白

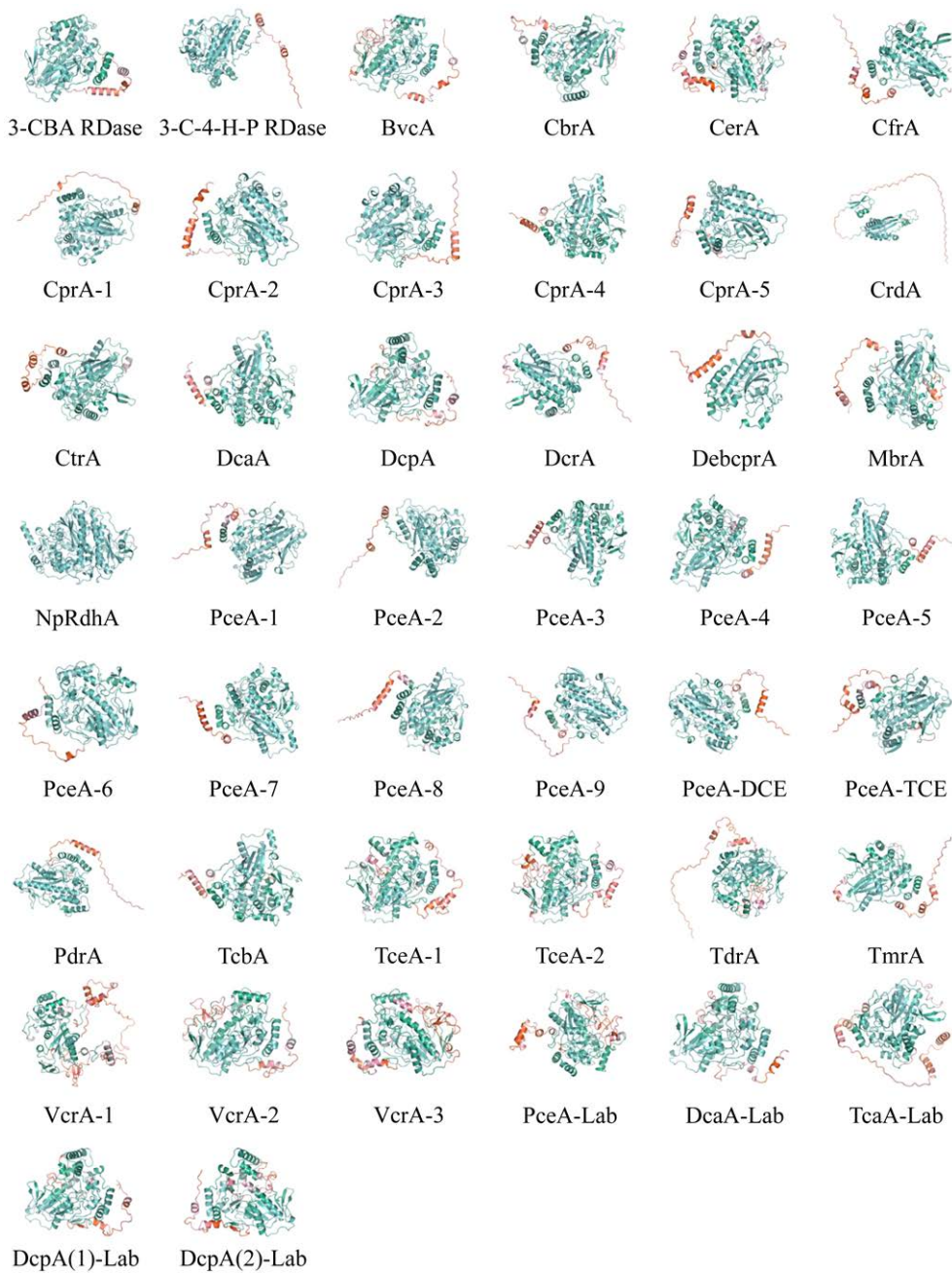


图 6 44 个还原性脱卤酶的三级结构预测结果

Figure 6 The predicted tertiary structure results of 44 reductive dehalogenases.

结构与功能机制等相关研究受限的原因之一。此外，研究表明 IDR 对溶剂的物理化学性质高度敏感，pH、温度、氧化还原状态和高渗压等条件均会导致某些 IDR 的构象变化，这意味着借助 IDR 环境敏感性来调节蛋白活性方面存在

潜力^[32-33]。未来借助更先进的技术研究 RDases 蛋白 IDR 的环境敏感性及特殊功能域等，不仅可为深入理解 RDases 蛋白的结构与功能关系提供新视角，也可为未来原位修复中 OHRB 或 RDases 的环境适应性问题提供新策略。

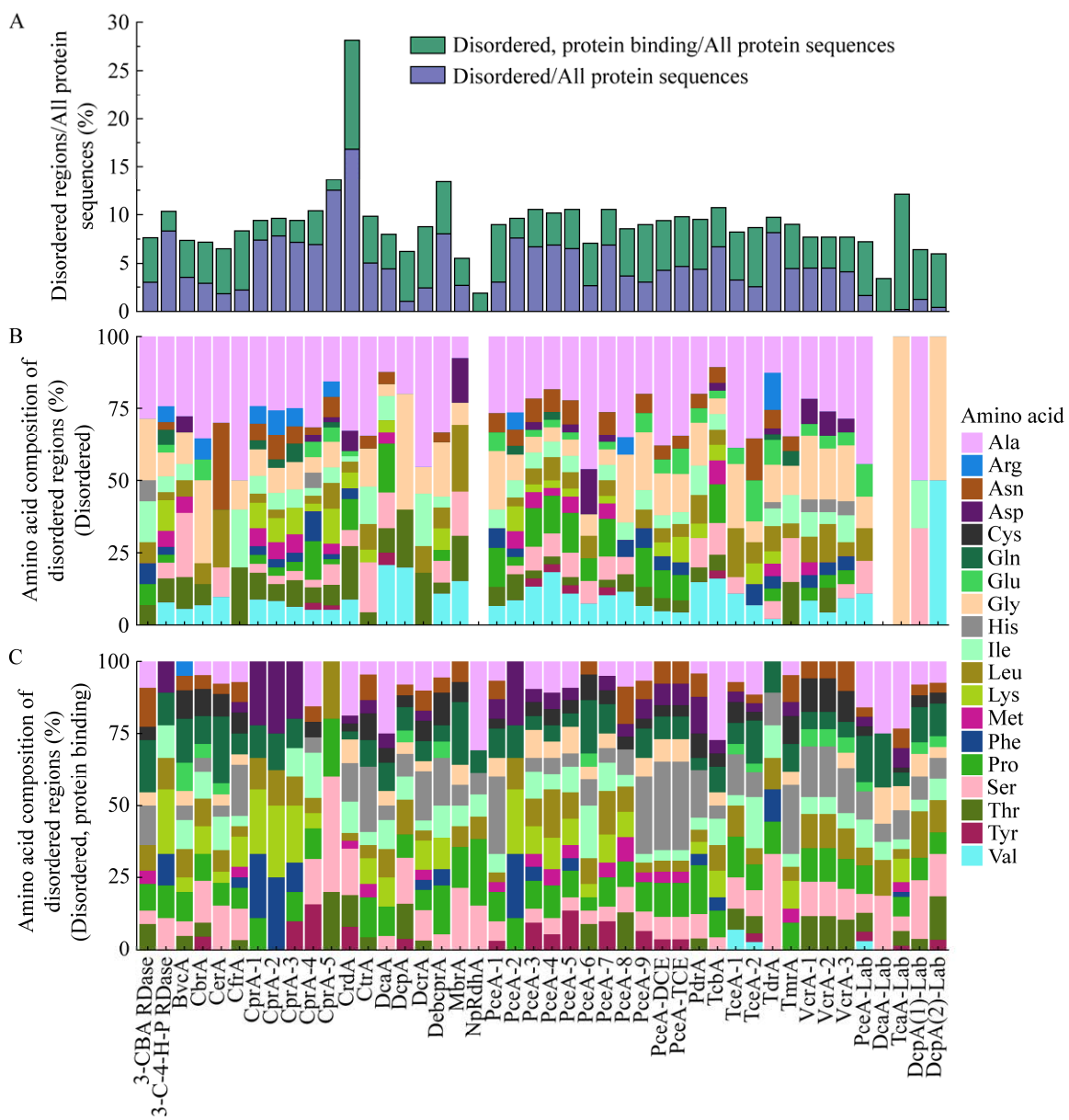


图 7 44 个还原性脱卤酶的无序区域特征 A: 44 个还原性脱卤酶的无序区域组成. B: 无序区域(disordered)的氨基酸组成. C: 无序区域(disordered, protein binding)的氨基酸组成. Ala: 丙氨酸; Arg: 精氨酸; Asn: 天冬酰胺; Asp: 天冬氨酸; Cys: 半胱氨酸; Gln: 谷氨酰胺; Glu: 谷氨酸; Gly: 甘氨酸; His: 组氨酸; Ile: 异亮氨酸; Leu: 亮氨酸; Lys: 赖氨酸; Met: 甲硫氨酸; Phe: 苯丙氨酸; Pro: 脯氨酸; Ser: 丝氨酸; Thr: 苏氨酸; Tyr: 酪氨酸; Val: 缬氨酸

Figure 7 Characteristics of disordered regions of 44 reductive dehalogenases. A: Composition of disordered regions of 44 reductive dehalogenases. B: Amino acid composition of disordered regions (disordered). C: Amino acid composition of disordered regions (Disordered, protein binding). Ala: Alanine; Arg: Arginine; Asn: Asparagine; Asp: Aspartic acid; Cys: Cysteine; Gln: Glutamine; Glu: Glutamic acid; Gly: Glycine; His: Histidine; Ile: Isoleucine; Leu: Leucine; Lys: Lysine; Met: Methionine; Phe: Phenylalanine; Pro: Proline; Ser: Serine; Thr: Threonine; Tyr: Tyrosine; Val: Valine.

4 结论

本研究利用多种生物信息学分析工具对 44 个 RDases 蛋白的结构与序列特征进行了预测分析。结果表明，不同 RDases 蛋白的理化性质存在差异，但呈现一定保守性。不同 RDases 蛋白的磷酸化位点、保守结构域分布、保守基序分布，以及二级结构的保守性较高。底物类别相似或相同的 RDases 在蛋白序列和三级结构上更为相似。大多数还原性脱卤酶蛋白的亲缘较近。RDases 蛋白主要为分泌型蛋白、非膜定位蛋白和固有无序蛋白。因此，序列与结构的保守性支持了不同 RDases 蛋白在有机卤化物降解过程中可能执行相似的生物学功能。本研究结果旨在为未来 RDases、有机卤呼吸细菌、有机卤化物污染修复及其他相关基础课题的研究设计提供理论支持。未来通过生物信息学对 RDases 理化特性与作用机制的不断揭示，并结合人工突变筛选高效有机卤呼吸细菌，将推动有机卤呼吸细菌在有机卤污染场地原位修复的应用。

REFERENCES

- [1] LIU YH, WANG L, LIU RL, FANG JS. Biogeochemical cycling of halogenated organic compounds in the ocean: current progress and future directions[J]. Deep Sea Research Part I: Oceanographic Research Papers, 2024, 205: 104237.
- [2] AGARWAL V, MILES ZD, WINTER JM, EUSTÁQUIO AS, EL GAMAL AA, MOORE BS. Enzymatic halogenation and dehalogenation reactions: pervasive and mechanistically diverse[J]. Chemical Reviews, 2017, 117(8): 5619-5674.
- [3] ATASHGAHI S, HÄGGBLOM MM, SMIDT H. Organohalide respiration in pristine environments: implications for the natural halogen cycle[J]. Environmental Microbiology, 2018, 20(3): 934-948.
- [4] ZHANG M, SHI Q, SONG XZ, WANG H, BIAN ZY. Recent electrochemical methods in electrochemical degradation of halogenated organics: a review[J]. Environmental Science and Pollution Research International, 2019, 26(11): 10457-10486.
- [5] LOOS R, LOCORO G, COMERO S, CONTINI S, SCHWESIG D, WERRES F, BALSAA P, GANS O, WEISS S, BLAHA L, BOLCHI M, GAWLIK BM. Pan-European survey on the occurrence of selected polar organic persistent pollutants in ground water[J]. Water Research, 2010, 44(14): 4115-4126.
- [6] JOHNSON-RESTREPO B, KANNAN K, ADDINK R, ADAMS DH. Polybrominated diphenyl ethers and polychlorinated biphenyls in a marine foodweb of coastal Florida[J]. Environmental Science & Technology, 2005, 39(21): 8243-8250.
- [7] XU Y, YU RMK, ZHANG XW, MURPHY MB, GIESY JP, LAM MHW, LAM PKS, WU RSS, YU HX. Effects of PCBs and MeSO₂-PCBs on adrenocortical steroidogenesis in H295R human adrenocortical carcinoma cells[J]. Chemosphere, 2006, 63(5): 772-784.
- [8] LU QH, QIU L, YU L, ZHANG SW, de TOLEDO RA, SHIM H, WANG SQ. Microbial transformation of chiral organohalides: distribution, microorganisms and mechanisms[J]. Journal of Hazardous Materials, 2019, 368: 849-861.
- [9] WU RF, WANG SQ. Integration of microbial reductive dehalogenation with persulfate activation and oxidation (Bio-RD-PAO) for complete attenuation of organohalides[J]. Frontiers of Environmental Science & Engineering, 2021, 16(2): 22.
- [10] FALANDYSZ J, ROSE M, FERNANDES AR. Mixed poly-brominated/chlorinated biphenyls (PXBs): widespread food and environmental contaminants[J]. Environment International, 2012, 44: 118-127.
- [11] ZHANG ZW, PEI NC, SUN YX, LI JL, LI XP, YU S, XU XR, HU YX, MAI BX. Halogenated organic pollutants in sediments and organisms from mangrove wetlands of the Jiulong River Estuary, South China[J]. Environmental Research, 2019, 171: 145-152.
- [12] RAI AR, SINGH RP, SRIVASTAVA AK, DUBEY RC. Structure prediction and evolution of a halo-acid dehalogenase of *Burkholderia mallei*[J]. Bioinformation, 2012, 8(22): 1111-1113.
- [13] JUGDER BE, ERTAN H, BOHL S, LEE M, MARQUIS CP, MANEFIELD M. Organohalide respiring bacteria and reductive dehalogenases: key tools in organohalide bioremediation[J]. Frontiers in Microbiology, 2016, 7: 249.
- [14] SUFLITA JM, HOROWITZ A, SHELTON DR, TIEDJE JM. Dehalogenation: a novel pathway for the anaerobic biodegradation of haloaromatic compounds[J]. Science, 1982, 218(4577): 1115-1117.
- [15] LEYS D, ADRIAN L, SMIDT H. Organohalide respiration: microbes breathing chlorinated

- molecules[J]. Philosophical Transactions of the Royal Society of London Series B, Biological Sciences, 2013, 368(1616): 20120316.
- [16] RICHARDSON RE. Genomic insights into organohalide respiration[J]. Current Opinion in Biotechnology, 2013, 24(3): 498-505.
- [17] BOMMER M, KUNZE C, FESSELER J, SCHUBERT T, DIEKERT G, DOBBEK H. Structural basis for organohalide respiration[J]. Science, 2014, 346(6208): 455-458.
- [18] HUG LA, MAPHOSA F, LEYS D, LÖFFLER FE, SMIDT H, EDWARDS EA, ADRIAN L. Overview of organohalide-respiring bacteria and a proposal for a classification system for reductive dehalogenases[J]. Philosophical Transactions of the Royal Society of London Series B, Biological Sciences, 2013, 368(1616): 20120322.
- [19] SCHUBERT T, DIEKERT G. Comparative biochemistry of organohalide respiration[M]// Organohalide-Respiring Bacteria. Berlin, Heidelberg: Springer Berlin Heidelberg, 2016: 397-427.
- [20] SCHUBERT T, ADRIAN L, SAWERS RG, DIEKERT G. Organohalide respiratory chains: composition, topology and key enzymes[J]. FEMS Microbiology Ecology, 2018, 94(4): fiy035.
- [21] NAKAMURA R, OBATA T, NOJIMA R, HASHIMOTO Y, NOGUCHI K, OGAWA T, YOHDA M. Functional expression and characterization of tetrachloroethene dehalogenase from *Geobacter* sp.[J]. Frontiers in Microbiology, 2018, 9: 1774.
- [22] MOLEND A O, PUENTES JÁCOME LA, CAO X, NESBØ CL, TANG SQ, MORSON N, PATRON J, LOMHEIM L, WISHART DS, EDWARDS EA. Insights into origins and function of the unexplored majority of the reductive dehalogenase gene family as a result of genome assembly and ortholog group classification[J]. Environmental Science Processes & Impacts, 2020, 22(3): 663-678.
- [23] JAMAL S, ALI W, NAGPAL P, GROVER A, GROVER S. Predicting phosphorylation sites using machine learning by integrating the sequence, structure, and functional information of proteins[J]. Journal of Translational Medicine, 2021, 19(1): 218.
- [24] ARDITO F, GIULIANI M, PERRONE D, TROIANO G, MUZIO LL. The crucial role of protein phosphorylation in cell signaling and its use as targeted therapy (Review)[J]. International Journal of Molecular Medicine, 2017, 40(2): 271-280.
- [25] DUNKER AK, LAWSON JD, BROWN CJ, WILLIAMS RM, ROMERO P, OH JS, OLDFIELD CJ, CAMPEN AM, RATLIFF CM, HIPPS KW, AUSIO J, NISSEN MS, REEVES R, KANG C, KISSINGER CR, BAILEY RW, GRISWOLD MD, CHIU W, GARNER EC, OBRADOVIC Z. Intrinsically disordered protein[J]. Journal of Molecular Graphics and Modelling, 2001, 19(1): 26-59.
- [26] 朱玉凤, 陈艳如, 曹贊霞, 王吉华. 固有无序蛋白质(IDPs)的预测和分子动力学模拟研究[J]. 德州学院学报, 2014, 30(6): 6-13.
- ZHU YF, CHEN YR, CAO ZX, WANG JH. Study on intrinsically disordered proteins (IDPs) by prediction and molecular dynamics simulation[J]. Journal of Dezhou University, 2014, 30(6): 6-13 (in Chinese).
- [27] UVERS KY VN. Introduction to intrinsically disordered proteins (IDPs)[J]. Chemical Reviews, 2014, 114(13): 6557-6560.
- [28] FUKUCHI S, HOSODA K, HOMMA K, GOJOBORI T, NISHIKAWA K. Binary classification of protein molecules into intrinsically disordered and ordered segments[J]. BMC Structural Biology, 2011, 11: 29.
- [29] ZHANG X, WANG ZK, LI Z, SHAIK S, WANG BJ. [4Fe-4S]-mediated proton-coupled electron transfer enables the efficient degradation of chloroalkenes by reductive dehalogenases[J]. ACS Catalysis, 2023, 13(2): 1173-1185.
- [30] ZHANG SW, WEN W, XIA XH, OUYANG W, MAI BX, ADRIAN L, SCHÜÜRMANN G. Insight into the mechanism underlying *Dehalococcoides mccartyi* strain CBDB1-mediated B₁₂-dependent aromatic reductive dehalogenation[J]. Environmental Science & Technology, 2023, 57(29): 10773-10781.
- [31] JUGDER BE, ERTAN H, LEE M, MANEFIELD M, MARQUIS CP. Reductive dehalogenases come of age in biological destruction of organohalides[J]. Trends in Biotechnology, 2015, 33(10): 595-610.
- [32] THEILLET FX, BINOLFI A, FREMBGEN-KESNER T, HINGORANI K, SARKAR M, KYNE C, LI CG, CROWLEY PB, GIERASCH L, PIELAK GJ, ELCOCK AH, GERSHENSON A, SELENKO P. Physicochemical properties of cells and their effects on intrinsically disordered proteins (IDPs)[J]. Chemical Reviews, 2014, 114(13): 6661-6714.
- [33] CUEVAS-VELAZQUEZ CL, VELLOSILLO T, GUADALUPE K, SCHMIDT HB, YU F, MOSES D, BROPHY JAN, COSIO-ACOSTA D, DAS A, WANG LX, JONES AM, COVARRUBIAS AA, SUKENIK S, DINNEN JR. Intrinsically disordered protein biosensor tracks the physical-chemical effects of osmotic stress on cells[J]. Nature Communications, 2021, 12(1): 5438.